

回転掘削機構について（第2報）

京都大学 正員 島 昭治郎、学生員〇伊藤典生

今回の報告は、前回報告レースドリルの掘削機構の実験的研究にひきつづき行なった、同じ回転式掘削機械であるアースオーガーの掘削機構に関するものである。

実験装置および試料 実験に使用したオーガーは、直徑(D)=500mm、らせん部のピッチ(P)=200mm($P_D=0.4$)、250mm($P_D=0.5$)、300mm($P_D=0.6$)の3つのタイプとので、いずれも高さは、500mmである。また、先端は軸径(d=50mm)と等しい径をもつ、高さ100mmのコーンである。オーガーの駆動は、20馬力および5馬力の無段変速機付のモーターにより、掘進速度(V)は1.5~65mm/sec、回転数(f)は0.02~0.06 rev/secの範囲で得られる。土試料は、京都桃山丘陵産の砂質土で、比重2.73、均等係数34、最大粒径4.8mmである。この試料を、含水比が18~12%、現場密度が $\gamma=1.80 g/cm^3$ であるように調整して実験に用いた。

実験方法および結果 オーガーの運転速度およびオーガーの形状寸法によって、掘削の機構がどのように変化するかを実験した。実験はまだ初期の段階で、現在続行中のため、得られている結果は少ないが、その中から2例だけ記してみる。図-1は、ピッチと直徑の比(P_D)が、0.4のオーガーを行いを行なった実験結果で、1回転あたりの掘削深さ γ を50mm/secから200mm/secまで変化させたときのものである。この結果において、 $\gamma=200 mm/sec$ のものは、

1回転あたりの掘削深さがオーガーのピッチと同一である。図-2は、オーガーの P_D が、0.4と0.6のものの比較である。

オーガーの掘削抵抗は、次のよう考えられる。オーガーの先端の刃による切削抵抗 R_C 、刃先のくぼみによる抵抗 R_b 、オーガーのらせん部分に載つて土の積み込み抵抗 R_d 、オーガーに積み込まれた土と、周囲の土との間に働くセン断抵抗 R_t 、さらに、オーガーの軸の下端部の抵抗や、らせん部分の縁と土との間のすきの抵抗などが考えられる。切削抵抗 R_C は、いくつか低い値を示すようであるが、高さが刃の壁の受動土量として計算でき、刃先のくぼみ抵抗 R_b は、アースドリルのときに行なった計算法で算定できる。積み込み抵抗 R_d は、すきの抵抗と付着抵抗の2つよりなる。

すきの抵抗は、図-3に示すように、オーガーのらせん部に対して垂直および水平方向に、次

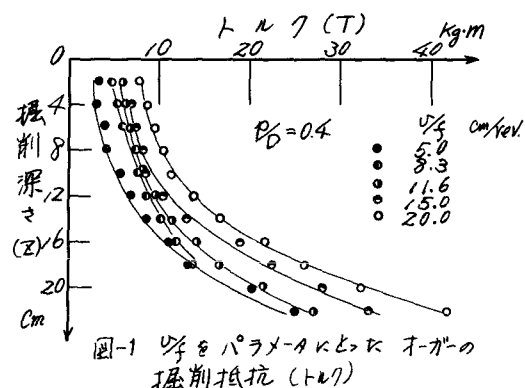


図-1 γ をパラメータとしたオーガーの掘削抵抗(トルク)

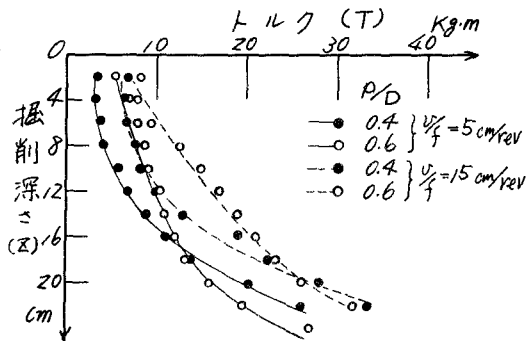


図-2 $P_D=0.4, 0.6$ のときの掘削抵抗の比較

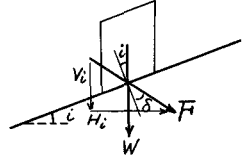
式で表わせる力をとる。

$$V_i = W_i \left\{ 1 + \frac{\cos i}{\cos \delta} \cos(\delta + i) \right\} \quad (1)$$

$$H_i = W_i \frac{\cos i}{\cos \delta} \sin(\delta + i) \quad (2)$$

V_i, H_i 単位面上に働く垂直、水平方向分力、

W_i 単位面上の土の自重、 δ 鉄と土との間のすきつ角、図-3. すきつ抵抗
 i ら線部の傾斜角、 i 傾斜角、 δ 鉄と土とのすきつ角



すきつ抵抗による垂直力は、(1)式をオーガーの刃幅、さらびに土の載っている高さまで積分すれば求められる。また、トルクは同じ領域において、(2)式に腕長を掛けた積分すれば求められる。しかし、ら線部の傾斜角 i は中央からの距離 r_i により異なる($\tan i = \frac{r_i}{2\pi r}$)ため、計算が複雑になるのである。単位幅ごとにその幅の中央の傾斜角 i を用いて計算する。

$$V_i = \sum_{i=1}^n \frac{\pi r}{4} \frac{D^2 - d^2}{D^2 - d^2} \left(Z - \frac{U}{2f} \right) (D_i^2 - D_{i-1}^2) \left\{ 1 + \frac{\cos i}{\cos \delta} \cos(\delta + i) \right\} \dots (3) \quad T_i = \sum_{i=1}^n \frac{\pi r}{4} \frac{D^2 - d^2}{D^2 - d^2} \left(Z - \frac{U}{2f} \right) (D_i^2 - D_{i-1}^2) \frac{\cos i}{\cos \delta} \sin(\delta + i) \cdot r_i \dots (4)$$

Z 未掘削土の単位重量； D_i, i 番目の同心円の直径； r_i, i 番目の幅の中央までの距離； T トルク：

付着抵抗は、接触面積に比例するから、水平、垂直方向の抵抗力の成り合いで、 T_2 -面、 T_3 -面への投影面積 C_a （鉄板と土との間の付着力）を掛けて求める。

$$V_2 = n \frac{DP}{\pi} C_a \dots (5) \quad T_2 = n \frac{\pi D^3}{12} C_a \dots (6) \quad \text{これは、オーガーの上の土が圧縮せずに積み込ま} \\ \text{れると仮定しておき、土の付着しておるら線部} \\ \text{の段数である。側面のセン断抵抗} R_t \text{は、土がオーガーのら線部上を、外径} D, \text{内径} d, \text{厚} \\ \text{さ} t \text{の角柱} t \text{を} \frac{t}{\tan i} \text{だけ} \text{上} \text{が} \text{て} < \text{ると考} \text{え} \text{ると次式で表わせる。}$$

$$V_3 = \frac{t}{\tan i} \left\{ k \gamma \tan \phi \left(\frac{Z-U}{2} \right)^2 + \left(Z - \frac{U}{f} \right) C \right\} \sin i \dots (7) \quad T_3 = \frac{t}{\tan i} \frac{D}{2} \left\{ k \gamma \tan \phi \left(\frac{Z-U}{2} \right)^2 + \left(Z - \frac{U}{f} \right) C \right\} \cos i \dots (8)$$

i オーガー最外端ら線部の傾斜角； γ 土の内部マツク角； k 土の横方向土圧係数； C 土の粘着力：
これまでの回転式掘削機械（アースドリル）の掘削構造について実験し解析してきた結果を。
本機械に適用すると以上のよう参考の方が基本となる、オーガーにかかる力を算定する
ことができると思われる。

表-1 トルク計算値

P/D	γf	T ₁	T ₂	T ₃	T ₄	合計
0.4	5.0cm	9.15	44.16	15.05	1.06	69.62
"	15.0	7.12	14.72	20.32	9.53	51.69
0.6	5.0	9.75	44.16	9.91	1.06	64.89
"	15.0	7.59	14.72	13.42	9.53	45.25

* トルクの単位は kg·m

むすび 今、(4),(6),(8)式をくみ込み抵抗 R_i による
トルク T_4 を、図-2において与えた条件で、掘削深さ $s = 25$ cmとして計算すると表-1の値となる。表の値には、
切削抵抗が入っておらずまだ実験値と比較はできずだが、 P/D が少々大きくなるとすきつ抵抗(T_3)には大差
がなく、 P/D が小さければオーガーの側面のセン断抵抗
(T_3)が大きくなるので明らかに不利であることがわかる。図-1からわかるように、 γf を大き
くとっても、大きさ γf の変化（掘削構造の変化）は見られないので、つまり施工を迅速にする
ため、 γf をピッタリ等しくするまで持つていくことを示している。